

تحلیل پتانسیل تابشی خورشید در مناطق خشک و نیمه خشک ایران مرکزی با استفاده از داده‌های دورسنجی

ابوالفضل رنجبر فردوسی^۱

وحید ویسی^۲

تاریخ پذیرش مقاله: ۹۶/۰۷/۰۴

تاریخ دریافت مقاله: ۹۵/۰۳/۱۱

چکیده

ایران کشوری است با تعداد روزهای آفتابی زیاد که از نظر مقدار دریافت انرژی تابشی خورشید در شمار مناسب‌ترین کشورهای جهان محسوب می‌شود. به دلیل محدود بودن انرژی‌های فسیلی و صرفه‌جویی برای نسل‌های آتی بایستی به دنبال جایگزینی و استفاده از انرژی‌های تجدیدپذیر همچون انرژی خورشیدی بود. رویکردهای متعددی جهت محاسبه رخدادهای تابشی خورشیدی به دو صورت کامپیوتری و دستی برای هر مکان زمینی مشخص شده‌اند. برخی از روش‌ها جهت تعیین مناطق مستعد تابشی نیاز به داده‌های زمینی مشخص دارند، اما برخی دیگر از روش‌ها بدون نیاز به داده‌های واقعی بازتاب تابشی را برآورد می‌کنند. لذا هدف از این پژوهش تحلیل پتانسیل تابشی خورشید در قسمتی از مناطق مرکزی ایران می‌باشد که با استفاده از تحلیل آمایشی - فضایی شاخص‌های آلبیدو، روشنایی، LST، NDVI، سبزینگی و رطوبت انجام گرفت. بدین منظور از تصاویر سنجنده OLI مورخ ۲۰۱۵/۰۵/۱۷ استفاده شد. در این راستا مقادیر شاخص‌های مذبور از طریق اعمال توابع بر روی تصویر ماهواره‌ای سال ۲۰۱۵ محاسبه شد. سپس نقشه مربوط به هر شاخص استانداردسازی، و نقشه پتانسیل سنجی از میانگین‌گیری کل شاخص‌ها حاصل شد. در پایان نقشه پتانسیل سنجی نیز بر حسب مقدار تخمینی تابش خورشیدی به پنج کلاس شامل بسیار نامناسب، نامناسب، متوسط، مناسب، بسیار مناسب تقسیم‌بندی گردید. نتایج حاصل از تجزیه و تحلیل تناسب تابشی نشان داد که ۳۰۳۵/۳۷ کیلومترمربع از مساحت منطقه که شامل قسمت‌هایی از بخش مرکزی قم، بخش‌هایی از گرمسار و غرب بخش آران و بیدگل نسبت به سایر مناطق از دما، روشنایی و میزان آلبیدو بیشتری برخوردارند و به عنوان مناسب‌ترین مناطق جهت استقرار نیروگاه‌های خورشیدی و بهره‌برداری از انرژی تابشی پیشنهاد می‌شوند.

واژه‌های کلیدی: توان تابشی، آلبیدو، روشنایی، LST، دورسنجی، ایران مرکزی.

۱-دانشیار گروه مهندسی علوم بیابان، دانشکده منابع طبیعی و علوم زمین، دانشگاه کاشان، کاشان، ایران. aranjbar@kashanu.ac.ir

۲-استادیار ژئومورفولوژی، گروه جغرافیا و اکتووریسم، دانشکده منابع طبیعی و علوم زمین، دانشگاه کاشان، کاشان، ایران. hmoosavi15@kashanu.ac.ir

۳- دانشجوی کارشناسی ارشد بیابان‌زدایی، گروه مهندسی بیابان، دانشکده منابع طبیعی و علوم زمین، دانشگاه کاشان، کاشان، ایران.

(نویسنده مسئول) v.vaisi@grad.kashanu.ac.ir

خورشیدی، برآورد و کاربرد آن، در جهان به صورت جدی تری صورت گرفت و با توجه به شرایط جغرافیایی و اقلیمی مناطق، مدل‌های مناسبی ارائه گردید (صمیمی، ۱۳۶۴: ۷۵). رویکردهای متعددی جهت محاسبه رخدادهای تابشی خورشیدی به دو صورت کامپیوتری و یا دستی برای هر مکان بر روی زمین مشخص شده‌اند. برخی از روش‌ها جهت تعیین منطقه مطالعاتی نیاز به داده‌های زمینی مشخص دارند، اما برخی دیگر از روش‌ها بدون نیاز به داده‌های واقعی بازتاب را برآورد می‌کنند (بروک، ۱۹۸۱: ۱). در رابطه با بررسی پتانسیل تابشی و استفاده از انرژی‌های نو تحقیقات متعددی انجام گرفته است. در مطالعات خارجی نظری (طفرک و اونات^۱؛ ۱۹۹۹: ۱۰۷) با استفاده از شش پارامتر دمای هوا، تابش خورشیدی، ساعت آفتابی، فشار هوا، میزان ابرناکی و دمای خاک یک مدل رگرسیون خطی چند متغیره برای تخمین تابش در منطقه الازیگ ترکیه ارائه نمودند. (ایزومن و مایر^۲: ۱۳۳۱: ۲۰۰۲) مدل‌های کاستن (بر مبنای ابرناکی) و آنگستروم-پرسکات، گارچ و سیوکف (بر مبنای ساعت‌آفتابی) مورد بررسی قرار دادند، که در نهایت مدل آنگستروم-پرسکات و گارچ به عنوان بهترین مدل‌های برآورد تابش خورشیدی در این مناطق انتخاب شدند. (اسکیکر^۳: ۲۰۰۶: ۳۳۱)، در استان دمشق سوریه با استفاده از هفت پارامتر مختلف هواشناسی و جغرافیایی، ۱۳ مدل یک تا هفت متغیری را برای محاسبه تابش خورشیدی مورد بررسی قرار داد و با وجود قابل قبول بودن همه مدل‌ها، مدل ارائه شده با هفت متغیر را به عنوان بهترین مدل از نظر آماری معرفی نمود. (یانگ^۴ و همکاران: ۲۰۰۶: ۴۳) نیز مدلی جهانی برای تخمین تابش ساعتی و روزانه در هر ماه ارائه نمودند که علاوه بر در نظر گرفتن ساعات آفتابی، وابسته به استفاده از پارامترهای فشار سطحی هوا، توزیع جهانی ضخامت لایه اُزن، بارندگی و توزیع جهانی

۱- مقدمه

اراضی خشک حدود ۴۱ درصد از سطح زمین را پوشانده‌اند و ۳۷ درصد از جمعیت جهان را در خود جای داده‌اند (سافریل و عادل^۵: ۲۰۰۵). بیش از ۸۵ درصد از وسعت کشور ایران را مناطق خشک و نیمه‌خشک و فراخشک دربرگرفته‌اند (کردوانی، ۱۳۷۳) که در این مناطق سهم تابش خورشیدی بسیار زیاد است. انرژی یکی از مهمترین عوامل در پیشرفت و توسعه جوامع بشری و از فاکتورهای ضروری در توسعه اقتصادی، اجتماعی و ارتقای کیفیت زندگی است. انفجار جمعیت و رشد روز افزون تقاضای انرژی، افزایش استانداردهای زندگی، خطر گرم شدن کره زمین ناشی از پدیده گلخانه‌ای، بارش‌های اسیدی، مشکلات زیست محیطی و تهدید سلامت انسان‌ها و در نهایت کمبود منابع انرژی فسیلی از جمله مسایلی است که توجه کشورهای جهان را به استفاده از انرژی‌های تجدید پذیر جلب می‌نماید. به طوری که در برنامه‌ریزی‌های خود تأمین درصدی از انرژی‌های مورد نیاز کشورشان را از طریق توربین‌های بادی، انرژی‌های خورشیدی، انرژی زمین گرمایی و سایر انرژی‌های تجدیدپذیر منظور می‌نمایند (جعفری و همکاران، ۱۳۹۲: ۲۴). در کشور ایران سوخت‌های فسیلی منبع اصلی تأمین انرژی به شمار می‌رود. به دلیل محدود بودن این منابع و صرفه‌جویی برای نسل‌های آینده باید به دنبال جایگزینی و استفاده از انرژی‌های تجدیدپذیر همچون انرژی خورشیدی بود. انرژی خورشیدی به عنوان یکی از منابع تأمین انرژی پاک و عاری از اثرات مخرب زیست محیطی، از گذشته‌های دور به روش‌های گوناگون مورد استفاده بشر قرار گرفته است. با عنایت به محدودیت منابع فسیلی و آلودگی‌های ناشی از آنها و همچنین افزایش روز افزون تقاضای انرژی، بکارگیری تمهیداتی جهت بهره‌برداری بهینه از منبع سرشار انرژی خورشیدی در ایران امری ضروری به نظر می‌رسد (سامانی^۶: ۲۰۰۰: ۲۶۵).

در دهه ۱۹۷۰ مطالعات وسیعی درباره میزان تابش

^۳ Brock

^۴ Togrul and Onat

^۵ Iziomon and Mayer

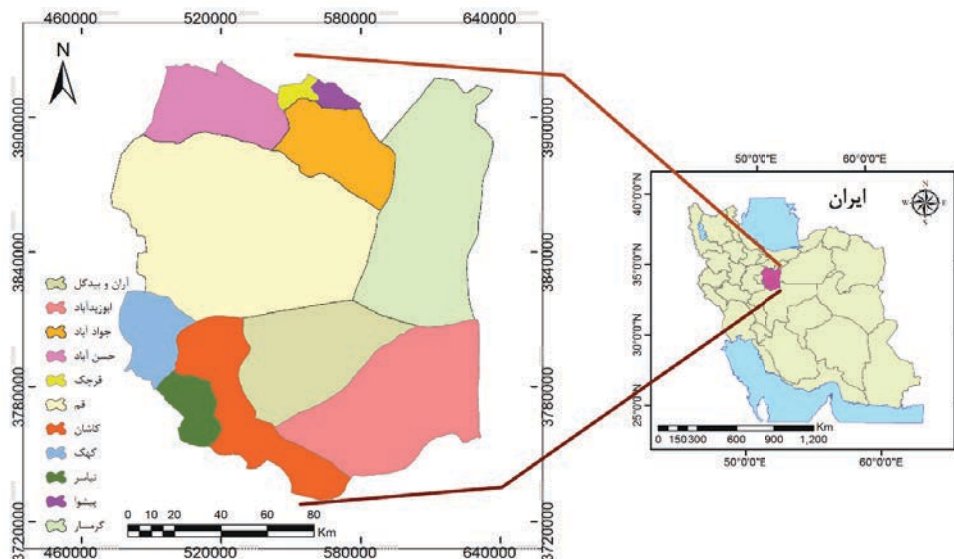
⁶ Skeiker

⁷ Yang

^۱ Safriel and Adeel

² Samani

فصلنامه علمی - پژوهشی اطلاعات جغرافیایی (جغر)
تحلیل پتانسیل تابشی خورشید در مناطق خشک ... / ۴۳



نگاره ۱: موقعیت جغرافیایی
محدوده مطالعاتی

ایران از استعداد و قابلیت بالایی برای استفاده از انرژی خورشیدی برخوردارند. (یوسفی و همکاران، ۱۳۹۳) پژوهشی را با هدف بررسی پتانسیل یابی مکانی استان سمنان به لحاظ توان محیطی و اقلیمی جهت یافتن منطقه یا مناطق مستعد و دارای پتانسیل بالقوه برای احداث نیروگاه خورشیدی با استفاده از سیستم اطلاعات جغرافیایی انجام دادند و بیان داشتند که اکثر مناطق جنوبی استان از جمله شهرهای گرمسار بیارجمند، جنوب سمنان و جنوب دامغان به عنوان مناطق مناسب جهت احداث نیروگاههای خورشیدی می‌باشد. با توجه به اینکه اکثر کارهای صورت گرفته در زمینه برآورد انرژی تابشی با استفاده از داده‌های تاریخچه‌ای هواشناسی یا اقلیمی نظیر دما، ابرناکی، میزان تابش و ... صورت گرفته و عموماً از داده‌های دورسنجی و تصاویر ماهواره‌ای بهره‌گیری نشده است، بدین جهت هدف از این پژوهش بررسی پتانسیل تابشی در قسمتی از مناطق ایران مرکزی با استفاده از داده‌های دورسنجی و شاخص‌های آلیدو^۲، روشنایی^۳، سیزینگی^۴، پوشش گیاهی^۵، رطوبت^۶ و دمای سطح زمین^۷ است.

² Albedo

³ Brightness Index

⁴ Greenness Index

⁵ Normalized Difference Vegetation Index

⁶ Wetness Index

⁷ Land Surface Temperature

ضریب تیرگی آنگستروم می‌باشد. (سیزی پرور و شتابی^۸: ۲۰۰۷) ۶۴۹ برای تخمین تابش در نواحی خشک و نیمه‌خشک غرب و شرق ایران از شش مدل پالتريج، صباغ، دانشیار، پالتريج اصلاح شده، صباغ اصلاح شده و دانشیار اصلاح شده استفاده نمودند. (صمیمی^۹: ۱۳۷۳) با برآورد انرژی تابش خورشیدی بر اساس ارتفاع، بر اهمیت آن به عنوان یک انرژی پاک، در دسترس و عاری از هرگونه آلودگی‌های مخرب زیست محیطی اشاره کرد. (صفایی و همکاران^{۱۰}: ۱۳۴۶) با استفاده از اطلاعات ۹ ایستگاه تشعشع‌سنجدی و مدل هیبریدی، به پتانسیل سنجدی تابشی خورشیدی در ایران و تهیی اطلس تابشی آن پرداختند و ۱۲ نقشه میانگین روزانه تابش خورشیدی کل در هر ماه، ۴ نقشه مجموع انرژی تابشی خورشیدی دریافتی تهیی نمودند. (موسوی بایگی و همکاران^{۱۱}: ۱۳۶۷) با بررسی هفت مدل برآورد تابش خورشیدی، مدل آنگستروم-پرسکات پیشنهادی توسط فائز را به عنوان مناسب‌ترین مدل تابش‌سنجدی انرژی خورشید در اقالیم نیمه‌خشک معرفی نمودند. (موسوی بایگی و اشرف^{۱۲}: ۱۳۹۰) ۶۶۵ جهت شناسایی نواحی پرتابش ایران به عنوان مناسب‌ترین مناطق بهره‌برداری از انرژی خورشیدی با استفاده از آمار ابرناکی در دوره ۲۰ ساله، بیان کردند که اغلب مناطق

⁸ Sabziparvar and Shetaee

جدول ۱: معادله شاخص‌های استفاده شده به همراه منابع

شاخص	نماد	معادله	منبع
آلبیدو	A	$0.356^*OLI\ 2 + 0.130^*OLI\ 4 + 0.373^*OLI\ 5 + 0.085^*OLI\ 6 + 0.072^*OLI\ 7 - 0.0018$	Liang et al., 2000
شاخص روشنایی	BI	$0.3037^*OLI\ 2 + 0.2793^*OLI\ 3 + 0.4743^*OLI\ 4 + 0.5585^*OLI\ 5 + 0.5082^*OLI\ 6 + 0.1863^*OLI\ 7$	Crist et al, 1986
شاخص پوشش گیاهی	NDVI	$(OLI\ 5 - OLI\ 4) / (OLI\ 5 + OLI\ 4)$	Khan et al., 2005
شاخص سبزینگی	GI	$-0.2848^*OLI\ 2 - 0.2435^*OLI\ 3 - 0.5436^*OLI\ 4 + 0.7243^*OLI\ 5 + 0.0840^*OLI\ 6 - 0.1800^*OLI\ 7$	Crist et al, 1986
شاخص رطوبت	WI	$0.2626^*OLI\ 2 + 0.2141^*OLI\ 3 + 0.0926^*OLI\ 4 + 0.539^*OLI\ 7 - 0.0656^*OLI\ 5 - 0.763^*OLI\ 6 -$	Huang et al, 2002

آبی، OLI3: باند سبز، OLI4: باند قرمز، OLI5: باند مادون قرمز نزدیک، OLI6: باند مادون قرمز طول موج کوتاه ۱، OLI7: باند مادون قرمز طول موج کوتاه ۲ هستند. برای محاسبه شاخص دمای سطح زمین (LST) ابتدا باید باندهای حرارتی ۱۰ و ۱۱ لنdest ۸ را با استفاده از رابطه ۱ به رادیانس، و سپس با استفاده از رابطه (۲) به دمای روشنایی، در نهایت با استفاده از رابطه (۳) به درجه حرارت روشنایی ماهواره تبدیل نمود.

$$R\text{ابطه } 1 \quad L_{\lambda} = M_L Q_{\text{cal}} + A_L$$

که در اینجا: L_{λ} رادیانس طیفی بالای اتمسفر، M_L : باند خاخص عامل تغییر مقیاس ضربی در فایل متادیتا و A_L : باند خاخص فاکتور تغییر مقیاس از متادیتا و Q_{cal} : ارزش تدریجی و کالیبره پیکسل محصول استاندارد (DN) می‌باشد.

$$R\text{ابطه } 2 \quad T = \frac{K_2}{\ln(\frac{K_1}{L_{\lambda}} + 1)}$$

که در اینجا: T: دمای روشنایی (کلوین)، K_1 و K_2 : ضرایب کالیبراسیون (جدول ۲) و L_{λ} : رادیانس طیفی بالای اتمسفر می‌باشد.

جدول ۲: ضرایب کالیبراسیون باند ۱۰ و ۱۱ ماهواره لنdest ۸

ضرایب کالیبراسیون	باند ۱۰	باند ۱۱
۴۸۰/۸۸۸۳	۷۷۴/۸۸۵۳	K_1
۱۲۰۱/۱۴۴۲	۱۳۲۱/۰۷۸۹	K_2

^۱ Digital Numbers

$$R\text{ابطه } 3 \quad LST = BT / 1 + w * (BT / p) * \ln(e)$$

۲- منطقه مورد مطالعه

منطقه مورد مطالعه بخشی از مناطق ایران مرکزی بوده که در محدوده جغرافیایی ۳۳ درجه و ۴۱ دقیقه و ۵۰ ثانیه الى ۳۵ درجه و ۲۸ دقیقه و ۳۰ ثانیه عرض شمالی و ۵۰ درجه و ۴۱ دقیقه و ۴۰ ثانیه الى ۵۲ درجه و ۳۰ دقیقه و ۲۷ ثانیه طول شرقی گسترده شده است. این منطقه شامل مرز بخش‌های پیشوای، جواد آباد، حسن آباد، قرچک از استان تهران، قم، کهک از استان قم، آران و بیدگل، کاشان، نیاسر، ابوذریدآباد از استان اصفهان و گرمسار از استان سمنان می‌باشد (نگاره ۱).

۳- مواد و روش‌ها

پژوهش حاضر از نوع کاربردی بوده و روش شناسی آن تلفیقی از تجزیه و تحلیل‌های دورسنجی و زمین‌آماری است. دادهای مورد استفاده در این پژوهش تصویر ماهواره‌ای لنdest ۸ مربوط به تاریخ تصویربرداری ۲۰۱۵/۰۵/۱۷ با مسیر ۱۶۴ و ردیف ۳۶ می‌باشد. به منظور بررسی پتانسیل تابشی از شاخص آلبیدو، شاخص روشنایی، شاخص NDVI، شاخص سبزینگی، شاخص رطوبت و شاخص دمای سطح زمین استفاده شد. برای محاسبه هر کدام از شاخص‌های مذکور، با استفاده از معادله و اعمال توابع هر کدام از شاخص‌ها بر روی تصویر لنdest ۸ در نرم‌افزارهای ENVI 5.3 و GIS 10.3 استفاده شد (جدول ۱). هر کدام از این شاخص‌ها از طریق اعمال توابع جدول (۱) بر روی باندهای تصویر ماهواره‌ای لنdest ۸ در نرم‌افزار ENVI 5.3 محاسبه گردید. که در اینجا OLI: باند

فصلنامه علمی - پژوهشی اطلاعات جغرافیایی (۲۸)

تحلیل پتانسیل تابشی خورشید در مناطق خشک ... / ۴۵

جنوب کهک، غرب نیاسر، جنوب شرقی کاشان دیده می-شود. در شاخص سبزینگی کمترین مقدار (۴۳۸۸۷/۶) در بخش‌های شمال گرمسار شمال حسن‌آباد، جنوب و جنوب غربی قم، جنوب جوادآباد، جنوب غربی و مرکز کاشان، غرب و جنوب غربی آران و بیدگل و بیشترین مقدار (۳۳۸۵/۸۱) در بخش‌های جنوب گرمسار، نیاسر، کهک، شمال غربی کاشان، مرکز و جنوب شرقی ابوزیدآباد مشاهده می‌شود. در شاخص رطوبت کمترین مقدار (۵۹۹۵۲/۱) و بیشترین مقدار (۱۱۰/۵۶) در شمال غربی قم، جنوب گرمسار، جنوب غربی ابوزیدآباد، نیاسر، کهک، شمال غربی کاشان و در شاخص LST کمترین مقدار (۱۹/۱۳۸۵) در بخش‌های قرچک، جوادآباد، جنوب گرمسار، جنوب غربی ابوزیدآباد، نیاسر، کهک، شمال و شمال غربی کاشان و بیشترین مقدار (۵۷/۵۷۰۵) در بخش‌های مرکز گرمسار، مرکزی قم، غرب آران و بیدگل، شرق و شمال شرقی ابوزیدآباد مشاهده گردید.

در نگاره ۳ نقشهٔ تحلیل تناسب اراضی حاصل از میانگین شاخص‌های آلبیدو، روشنایی، NDVI، سبزینگی، رطوبت و LST نشان داده شده است. مقادیر نقشهٔ تحلیل تناسب از ۰/۱۳۸۸۲ تا ۰/۷۴۱۸۶۷ می‌باشد، که هر چه به مقدار ۰/۱۳۸۸۲ نزدیکتر باشد مناطق با تابش کمتر را و هرچه به ۰/۷۴۱۸۶۷ نزدیکتر باشد مناطق با تابش بیشتر را نشان می‌دهد. در نقشه تحلیل تناسب مناطق بر حسب پتانسیل تابش خورشیدی به ۵ کلاس بسیار نامناسب، نامناسب، متوسط، مناسب، بسیار مناسب تقسیم‌بندی شد (نگاره ۳ و جدول ۳).

جدول ۳: جدول مساحت پهنه‌های تحلیل تناسب مکانی

تابش خورشیدی به کیلومترمربع و درصد

نوع تحلیل مکانی	مساحت به کیلومترمربع	مساحت به درصد
بسیار مناسب	۳۰۳۵/۳۶۹۷	۱۲/۵۰
مناسب	۶۹۶۷/۰۱۰۷	۲۸/۶۸
متوسط	۶۳۲۳/۹۴۱۸	۲۶/۰۴
نامناسب	۵۹۰۰/۰۵۵۳	۲۴/۳۰
بسیار نامناسب	۲۰۶۰/۸۶۶۸	۸/۴۸

که در اینجا؛ LST: دمای سطح زمین، BT: دمای روشنایی ماهواره، W: طول موج تخمینی رادیانس، p: یک مقدار ثابت است که برابر ۱۴۳۸۰ بوده و e از رابطه‌های (۴) و (۵) به دست می‌آید.

$$Pv = (NDVI - NDVI_{min}) / (NDVI_{max} - NDVI_{min})^2 \quad \text{رابطه ۴}$$

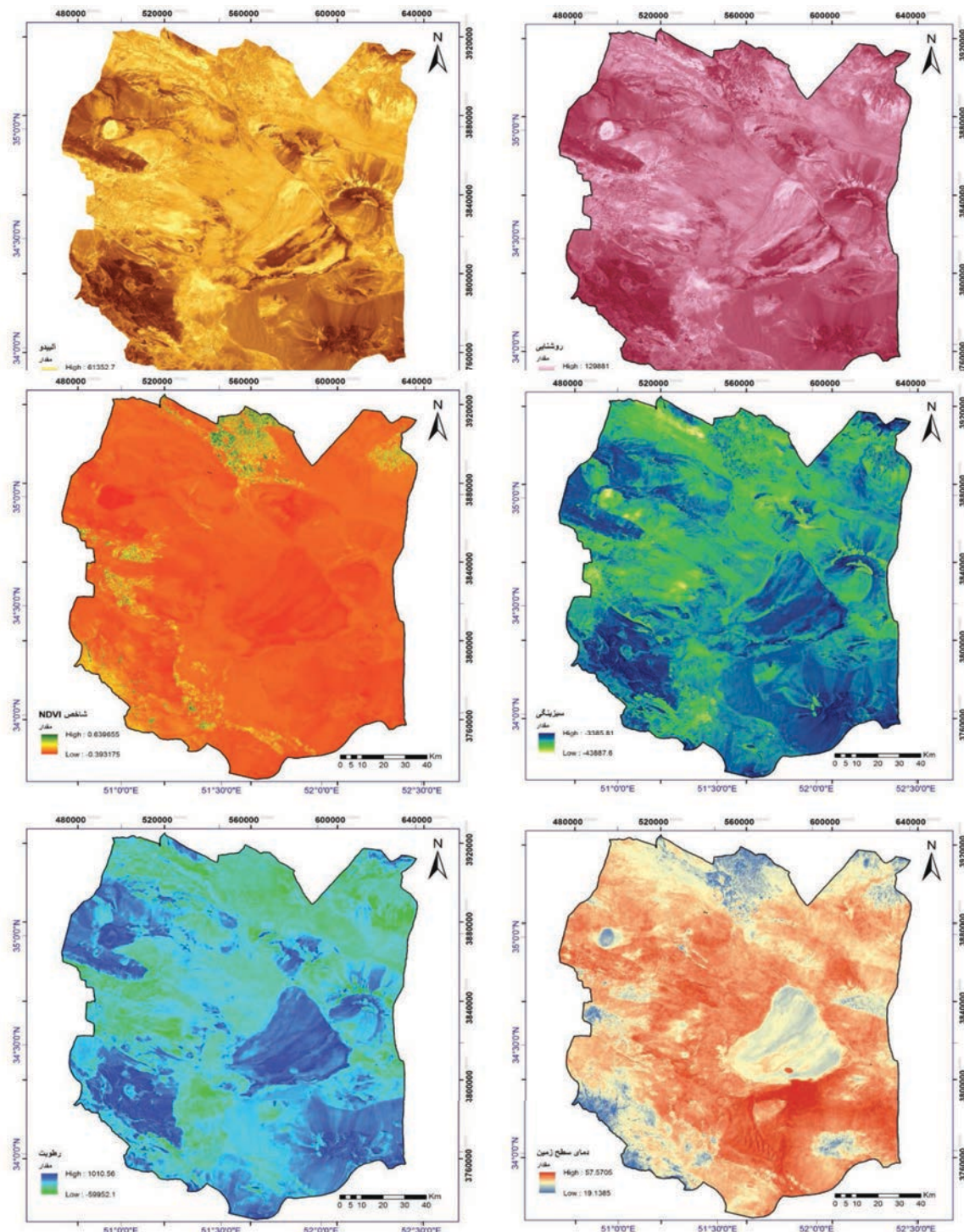
$$e = 0.004 * Pv + 0.986 \quad \text{رابطه ۵}$$

که در این رابطه؛ PV: گسیلمندی سطح زمین، NDVI: شاخص پوشش گیاهی، NDVI_{min} و NDVI_{max} به ترتیب مقدار حداقل و مقدار حداقل شاخص NDVI می‌باشند.

۴- یافته‌ها و نتایج

نقشه‌های حاصل از شاخص‌های آلبیدو، شاخص روشنایی، شاخص سبزینگی، شاخص رطوبت و شاخص دمای سطح زمین در نگاره (۲) گزارش شده است. در این نگاره تغییر هر کدام از شاخص‌ها به صورت کم تا زیاد نشان داده شده است. در شاخص آلبیدو کمترین مقدار (۶۶۶۸/۸۷) در شمال غربی قم، جنوب گرمسار، جنوب غربی ابوزیدآباد، نیاسر، کهک، شمال غربی کاشان و بیشترین مقدار (۶۱۳۵۲/۷) در بخش‌های شمال گرمسار، جنوب و جنوب شرقی قم و غرب آران و بیدگل مشاهده می‌شود.

در شاخص روشنایی کمترین مقدار (۱۵۴۴۱/۹) در شمال غربی قم، جنوب گرمسار، جنوب غربی ابوزیدآباد، نیاسر، کهک، شمال غربی کاشان، غرب پیشوای قرچک و بیشترین مقدار (۱۲۹۸۸۱) در بخش‌های شمال گرمسار، مرکز و جنوب و جنوب غربی قم و غرب آران و بیدگل وجود دارد. در شاخص NDVI کمترین میزان پوشش گیاهی (۰/۳۹۳۱۷۵) در بخش‌های مرکز و شمال غربی قم، جنوب گرمسار، مرکز ابوزیدآباد، شمال آران و بیدگل، شمال شرقی کاشان و بیشترین مقدار پوشش گیاهی (۰/۷۳۹۶۵۵) در شمال شرقی گرمسار، قرچک، پیشوای شمال غربی جوادآباد،



نگاره ۲: نقشه‌های شاخص‌های دورسنجی؛ ستون راست به ترتیب: شاخص روشنایی، شاخص سبزینگی و شاخص LST
ستون چپ به ترتیب: شاخص آلیدو، شاخص NDVI، شاخص رطوبت.

فصلنامه علمی - پژوهشی اطلاعات جغرافیایی (جغرافیا)

تحلیل پتانسیل تابشی خورشید در مناطق خشک ... / ۴۷

مناسب از نظر پتانسیل تابشی را با استفاده از محاسبه کمی و کیفی شاخص‌های مناسب نظیر آبدو، دما و روشنایی از طریق داده‌های دورسنجی سنجید و روابط بین هر کدام از این شاخص‌ها را به دست آورد. در نهایت بهترین مناطق را برای کسب انرژی خورشیدی و احداث نیروگاه‌های خورشیدی شناسایی نمود. پیشنهاد می‌شود که شاخص‌های دورسنجی با مدل‌های تابشی تلفیق گردد تا اطلاعات دقیق‌تری را در زمان کوتاه‌تر و با هزینه کمتر کسب نمود.

۶- منابع و مأخذ

۱- جعفری، ح.ر.، عزیزی، ع.، نصیری، ح.، عابدی، س.، ۱۳۹۲. تحلیل تناسب اراضی جهت استقرار نیروگاه‌های بادی در استان اردبیل با استفاده از مدل AHP و SAW در محیط سیستم اطلاعات جغرافیایی (GIS). علوم و تکنولوژی محیط زیست، ۱۵(۲): ۴۱-۲۴.

۲- صفائی، ب.، خلیجی اسدی، م.، تقی‌زاده، ح.، جیلاوی، ا.، طالقانی، گ.، دانش، م.، ۱۳۸۴. برآورد پتانسیل تابش خورشیدی در ایران و تهیه اطلس تابشی آن. مجله علوم و فنون هسته‌ای، ۳۳: ۳۴-۲۷.

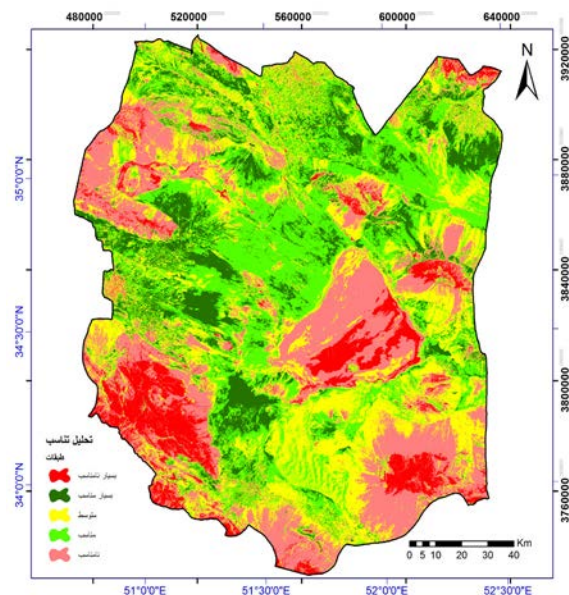
۳- صمیمی، ج.، ۱۳۶۴. انرژی خورشیدی برای ایران، مجله فیزیک، ۲: ۷۴-۸۵.

۴- صمیمی، ج.، ۱۳۷۳. برآورد تابش خورشیدی بر اساس ارتفاع و کاربرد آن در اقلیم خورشیدی ایران. مجله فیزیک، ۱۲: ۲۶-۱۸.

۵- کردوانی، پ.، ۱۳۷۳. مناطق خشک، ویژگی‌های اقلیمی، علل خشکی و چگونگی پیدایش. جلد اول، مؤسسه انتشارات و چاپ دانشگاه تهران، چاپ سوم با تجدیدنظر.

۶- موسوی بایگی، م.، اشرف. ب.، ۱۳۹۰. شناسایی مناطق با کمترین میزان ابرناکی به منظور پهنه‌بندی نواحی پرتابش کشور. نشریه آب و خاک (علوم و صنایع کشاورزی)، ۲۵(۳): ۶۶۵-۶۷۵.

۷- موسوی بایگی، م.، اشرف، ب.، میان آبادی. آ.، ۱۳۸۹. بررسی مدل‌های مختلف برآورد تابش خورشیدی به منظور



نگاره ۳: نقشه تحلیل تناسب مکانی تابش خورشیدی

۵- نتیجه‌گیری و پیشنهادات

با توجه به اینکه دما و تابش سطحی دو عامل مهم برای بررسی تابش خورشیدی هستند به همین جهت این دو عامل به عنوان عوامل اصلی برای بررسی تابش در نظر گرفته شد. براساس این دو عامل بهترین مناطق دارای پتانسیل تابشی که دارای بیشترین مقدار آبدو و بیشترین دمای سطحی می‌باشند دو بخش آران و بیدگل و ابوزیدآباد هستند. بیشترین مشاهده گردید و همچنین شاخص روشنایی نیز با بیدگل مشاهده گردید و میزان خود را داشت. در ن نقشه تحلیل تناسب مکانی تابش خورشیدی غرب منطقه آران و بیدگل منطقه بسیار مناسب بوده و دارای بیشترین میزان تابش می‌باشد. بر اساس نتایج حاصل می‌توان دریافت که در هر کجا میزان شاخص آبدو و شاخص روشنایی بالاتر باشد میزان پوشش گیاهی و سبزینگی کاهش می‌باید و مناطق دارای پوشش گیاهی دمای کمتری نسبت به سایر مناطق دارند. در نتیجه شاخص آبدو با شاخص روشنایی رابطه مستقیم و با شاخص سبزینگی و شاخص NDVI رابطه عکس دارد. بنابراین در نواحی مرکزی ایران می‌توان مناطق

- ۱۹- Togrul I.T., Onat, E., 1999. A study for estimating solar radiation in Elazig using geographical and meteorological data. *Energy Conversion and Management*, (40): 1577-1584.
- ۲۰- Yang, K., Koike, T., Ye, B., 2006. Improving estimation of hourly, daily, and monthly solar radiation by importing global data sets. *Agricultural and Forest Meteorology*, (137): 43-55.
- ۲۱- یوسفی، ر.، ملکی، ح. ر.، علالدین، ف.، ۱۳۹۳. پتانسیل بابی مکانی نیروگاه خورشیدی براساس توانهای محیطی و اقلیمی مناطق خشک و نیمهخشک با استفاده از روش TOPSIS در محیط GIS (مطالعه موردی استان سمنان). اولین همایش ملی رویکردهای نوین آمایش سرزمین در ایران.
- ۹- Brock, T. D. (1981). Calculating solar radiation for ecological studies. *Ecological modelling*, 14(1-2), 1-19.
- ۱۰- Crist, E.P., Kauth, R.J., 1986. The tasseled cap demystified, *Photogrammetric Engineering and Remote Sensing*, 52(1): 81-86.
- ۱۱- Huang, C., Wylie, B., Yang, L., Homer, C., Zylstra, G., 2002. Derivation of a tasseled cap transformation based on Landsat 7 at-satellite reflectance. *International Journal of Remote Sensing*, (23): 1741-1748.
- ۱۲- Iziomon M.G., Mayer, H., 2002. Assessment of some global solar radiation parameterizations. *J. Atmospheric Solar-terrestrial Physics*, (64): 1631-1643.
- ۱۳- Khan, M.N., Rastoskuev, V.V., Sato, Y., Shiozawa, S., 2005. Assessment of sing indicators. *Agric. Water Manage.*, (77): 96-109.
- ۱۴- Liang, S., 2000. Narrowband to Broadband conversions of land surface albedo I algorithms. *Remote Sensing of Environment*, (76): 213-238.
- ۱۵- Sabziparvar A.A., Shetaee, H., 2007. Estimation of global solar radiation in arid and semi-arid climates of East and West Iran. *Energy*, (32): 649-655.
- ۱۶- Safriel, U. and Z. Adeel. 2005. Dryland systems. Ecosystems and human well-being: Current state and trends. Island Press., Washington DC. pp. 984.
- ۱۷- Samani, Z., 2000. Estimation solar radiation and evapotranspiration using minimum Climatological Data. *J. Irrig. Drain. Eng.*, 126(4): 265-267.
- ۱۸- Skeiker, K., 2006. Correlation of global solar radiation with common geographical and meteorological parameters for Damascus province, Syria. *Energy Conversion and Management*, Mgmt., (47): 331-345.